



北京大学

硕士研究生学位论文

题目： 基于FPGA实现的高不可预测
性PUF电路设计

姓 名： 唐文懿

学 号： 1301214150

院 系： 信息科学技术学院

专 业： 微电子学与固体物理学

研究方向： 系统集成芯片设计及设计方法学

导 师： 贾嵩

2016年四月

版权声明

任何收存和保管本论文各种版本的单位和个人，未经本论文作者同意，不得将本论文转借他人，亦不得随意复制、抄录、拍照或以任何方式传播。否则一旦引起有碍作者著作权之问题，将可能承担法律责任。

摘要

关键词：其一，其二

Design methodology of Unpredictable PUFs based on FPGA Implementation

Wenyi Tang (Microelectronics)

Directed by Prof. Song Jia

ABSTRACT

Test of the English abstract.

KEYWORDS: First, Second

目录

版权声明	I
序言	1
第一章 预备知识	5
1.1 PUF工作原理	5
1.1.1 工艺涨落	5
1.1.2 信息转换	5
1.1.3 Weak PUF和Strong PUF	6
1.1.4 评价指标	7
1.2 PUF安全性问题	8
1.2.1 物理模型	8
1.2.2 参数拟合	8
1.3 机器学习算法简介	8
1.3.1 支持向量机	8
1.3.2 SVM与PUF	9
1.4 相关工作	9
1.4.1 仲裁型PUF	9
1.4.2 仲裁型PUF的改进	10
1.4.3 双稳态环路PUF	11
1.5 本章小结	11
结论	13
附录 A 附件	15
致谢	17
北京大学学位论文原创性声明和使用授权说明	19

序言

信息安全自古以来是各方关注的焦点。小，关乎个人隐私、人身财产安全；大，系家国安危。远，有古典军事加密技术、恩尼格码攻防战；近，有斯诺登棱镜门事件。

棱镜门事件的揭露，让各国政府充分认识到机密数据保护的重要性，同时也提出了一个困难的问题：如何才能保证数据的安全呢？

古代，对于机密的军事报文，采用传统的简单映射，将原文字符映射成密文字符，映射的参数就作为密钥由相互信任的若干方保存。敌方截获后，由于映射的不可逆特性，敌方无法在没有密钥的情况下破解密文。但在工业革命之后，随着人类运算能力的显著提高，曾经难以破译的加密方式可以借由穷举暴力破解，正是如此，不断促进了加密解密的协同发展——一项最新的加密技术往往催生出新颖的解密手段，再反过来促进加密的改进，如此往复。同一时期的加密技术的密钥空间往往远大于该时期计算能力，所以破译方总是寻找数学上的辅助手段来降低运算需求，如古典密码的频次分析法，近代的差分分析法、微分分析法，现代的旁道分析、大数据，甚至社会工程学方法。

其中以物理手段获取旁道信息破译的方法尤为引人注目。旁道信息是与密文相关的中间信息，呈现方式有很多种，比如加密操作时的功耗、电磁辐射、热辐射、运算错误、存储介质状态等等。利用这些信息，可以快速的破译一些加密系统。如差分功耗分析法，通过相似操作的功耗差值来判断猜解密钥的正确性，大幅度削减了穷举量；又如错误分析，通过手段注入使加密系统产生运算错误，并根据出现错误的时机和现象筛选密钥；而存储介质的分析则通过电磁探测等手段直接观察存储器中的逻辑值，从而提取出关键信息。

针对每一种不同的攻击手段，必须分别采取防御措施。如针对差分功耗分析，使用随机掩码隐藏真正的功耗信息，增加攻击者破解的成本；针对错误注入，加入探测机制阻止系统在出错的时候暴露关键信息；而针对存储介质的攻击，则可以采用PUF技术隐式存储关键数据。

在PUF技术出现之前，双方通信中关键的密钥往往直接存储在非易失性存储器（如只读存储器ROM）中。比如门禁系统中门卡的RFID，只能保存在门卡自身的芯片内。尽管通信协议可以很好的加密通信信道内的数据，但是却不能保护芯片内部ROM中的信息。一个恶意攻击者一旦获取了一个门卡，则可以通过技术手段探查ROM中的数据提取出关键信息。而PUF则以加密系统的物理实现自身特点存储信息，相较于ROM等

传统非易失性存储器，具有隐秘性好，不可探查等特点，因此受到了相关领域研究者的广泛关注。

Physical Unclonable Function (PUF) 最早由MIT的理学博士 Pappu S. Ravikanth 于2001年提出，而其最初被称为 Physical One-Way Function。Ravikanth 在论文中提出了利用可测系统的未知物理状态构造一种Hash函数，函数的映射方式由系统的物理特性决定。这种系统必须具有可观测的量以提供输出，同时以人类现有的知识或计算能力不能仿真或计算系统内部的细节，这样攻击者便不会知道系统将提供什么样的输出。Ravikanth 最后用光学系统实现了他的构想。PUF 一词则由同是MIT的 B. Gassend 等人提出，值得一提的是，Gassend 将PUF的全程写作 Physical Random Function，并称为了不和“伪随机函数”(Pseudo-Random Function)混淆，而写作 Physical Unclonable Function，记作“PUF”。Gassend 真正提出了基于硅基电路实现的PUF，他用一系列双口交换机级联的方式，通过检测输出端口延迟先后，将工艺随机波动转换成电平逻辑输出，他的这种电路随后被称为 Arbiter-PUF。不仅如此，Gassend 还提出了一整套PUF系统的完善措施，包括输入、输出矫正和PUF的实际应用可能，并给出了基于FPGA的实验结果，可以说给后来的研究者奠定了完善的基础和研究模板。

但自21世纪初提出PUF的随后几年里，对于PUF的研究文献寥寥，而此期间硬件安全的相关研究者热衷于研究同样是世纪之交提出的概念“差分功耗攻击”，直到2007年之后，对于DPA的研究热度开始随着几个定论的提出开始转冷，而随着半导体制程工艺的不断进步，以及计算机计算能力的跨越式提高，才开始慢慢恢复对PUF的研究。尤其是2004年MIT的Daihyun Lim的硕士毕业论文，对Arbiter-PUF建模，并用支持向量机(SVM)拟合出Arbiter-PUF的模型参数，开启了机器学习对PUF的建模攻击领域。此后，接着机器学习崛起的东风，PUF研究在攻防两方的博弈中迅速崛起，近几年来吸引了越来越多的研究者和相关会议关注这一领域。

到目前为止，PUF技术尚未成熟到商用地步，主要有以下几个技术难点。

- 其一，需要稳定的生成关键数据。系统的物理特征易受环境变化、使用寿命等因素的影响，基于物理特征生成的数据必须克服物理特征波动带来的影响；
- 其二，安全性。提取的物理特征应不易于被现有技术模拟，不能预测物理特征以破解出关键数据；
- 其三，实用性。结合上两点，还必须易于实现，以现有技术能在较低成本下制作出来。
- 最后，PUF并不适合放在现有的安全系统中，因此有越来越多的文献着手搭建以PUF为核心的安全协议，相信随着PUF研究的不断深入以及成熟的安全协议的提出，PUF将会成为安全领域的一颗新星。

本文在前人研究基础上，从基本原理入手，分析PUF的建模与仿真，针对机器学习建模攻击的应用和防范，主要研究成果有以下几点：

- 第一，对已提出的PUF结构进行建模，通过该模型仿真分析其性能指标，成功通过机器学习拟合模型参数；
- 第二，改进PUF结构，设计新型的电路结构以达到较高安全性，尤其是对建模攻击的防范；
- 第三，在FPGA上实现改进电路，通过PCI-E接口与PC通信，收集并测试大量的输出数据验证其性能指标。

文章分为六个章节，此为序章。第一章主要阐述本文设计的基础知识；第三章说明提出的改进型PUF方案；第四章则阐述在FPGA的实现方法；第五章展示实测数据和分析结果；最后第六章进行总结和提出展望。

第一章 预备知识

本章将文中所需要涉及的必要知识进行梳理和阐述，相关概念的定义和简介，不涉及具体证明过程。

1.1 PUF工作原理

1.1.1 工艺涨落

芯片制作可分为设计——流片——验证三个大环节，其中设计者输出给流片厂商的是版图信息。版图则对应着制程中每一层掩膜版的图形，具体到晶体管设计上，版图包括了晶体管宽长比，掺杂区域，互联方式等信息，结合工艺常数，决定了晶体管的设计属性。在实际制造中，图形转移过程存在套刻精度、刻蚀精度，以及掺杂过程中的退火控制精度等问题。这些操作在实际中存在不可避免的随机误差和系统误差，而随机误差根本上来源于测量系统的局限性，即永远不可能准确测量原子的位置和速度信息。而误差的累积则造成了工艺涨落，即流片后的晶体管属性与设计属性存在偏差，而其中随机误差的累积则造成设计上属性相同的晶体管在流片后必定存在偏差，也即不匹配，下一节将详细说明如何利用由工艺涨落带来的不匹配。

1.1.2 信息转换

由于无法控制工艺涨落的具体数值，也无法预测涨落的大小，因此“芯片制作”这个物理过程符合PUF所要求的“可测不可知”的物理系统，接下来阐述如何给出工艺涨落的观测点。

图 2 锁存式PUF

PUF将工艺参数转换为可输出的电压或电流信号。如1.1所示，其中每个反相器和相邻反相器之间的布线在设计上是全等的，但工艺涨落使得反相器中晶体管导电能力必有差异，那么反相器 I_0 的信号延迟 Δt_0 和 I_1 的信号延迟 Δt_1 定满足关系 $\Delta t_0 - \Delta t_1 \neq 0$ ，当输入一个上升沿信号 $u(t)$ 后，A-C，A-D 的延迟分别是 T_0, T_1 ，仲裁器负责判断C节点和D节点信号跳变的先后，一个典型的D触发器即可满足仲裁功能。若C点信号先于D点上跳，则仲裁器输出逻辑“1”，反之则输出逻辑“0”。由于在得到输出之前并不知道每个反相器的实际延迟，所以不能预测仲裁器的输出，而且每一块相同设计芯片之间的输出也因涨落分布的不同而有差异，因此这样的电路逻辑完成了从工艺涨落到电平信号的信息转换。

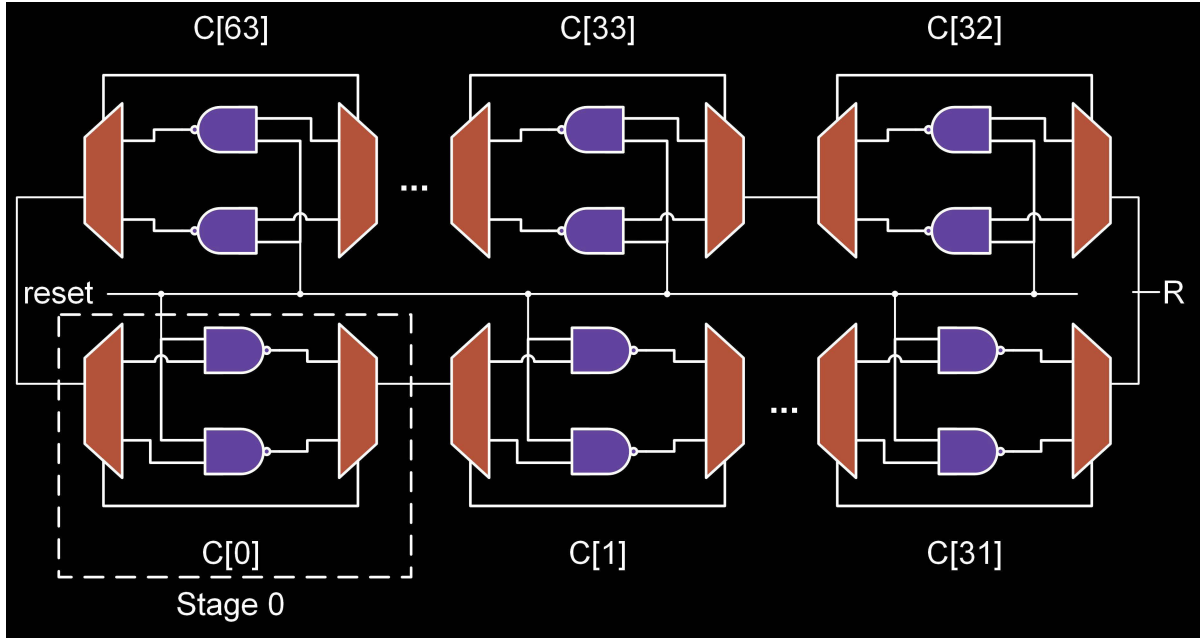


图 1.1 延迟-仲裁型PUF

又如图2所示，两个反相器及布线在设计上是全等的，上电初始电路处于亚稳态，由于实际的反相器存在偏差，导致其中一个节点的充电电流稍大于另一个节点，使得电路大概率由亚稳态向其中一个稳态过度，此大概率得到的稳态也是工艺涨落的体现，这样的电路也完成了从工艺涨落到存储逻辑值的信息转换。值得注意的是，这里使用了“大概率”的说法，是因为在由亚稳态到稳态的弛豫时间中，存在噪声干扰，从而导致电路向工艺无关的方向变化，这是PUF设计中不愿看到的事情。有关PUF稳定性的问题，参见1.2节。

1.1.3 Weak PUF和Strong PUF

类似于1.1和图 2中的电路，利用物理过程的不可控和不可预测性，表达一位或多位稳定信号的系统被称为物理不可克隆函数（Physically Unclonable Function），其不一定局限于硅基电路，事实上，PUF 概念的首次提出是在光学系统上实现的。

如果将图2中的结构排成阵列，加上行列选择和译码电路，则构成了类似 SRAM 的阵列，通过不同的“地址”信号可以输出不同的单元信息，像这样的“地址信号”在 PUF 中被称为激励（Challenge），输出信号被称为响应（Response）。每一个响应都由一个激励相对应，将它们合称为激励-响应对（C-R Pair, CRP）。

定义：若一个 PUF 的激励响应对很少，则称其为 Weak PUF；反之，激励响应对数量级非常多的则称为 Strong PUF。

Weak PUF 没有对外的 IO 接口，以防被穷举，直接将生成的信号送入后续逻辑；

Strong PUF 存在对外的 IO 接口，允许通过输入不同的激励得到一组响应，而 CRP 集合的元素量级决定了不可能穷举完所有的 CRP。

可以看出 Weak PUF 和 Strong PUF 只是人为地划分，没有明确界限，相较而言，目前以 Strong PUF 的研究和应用居多。

1.1.4 评价指标

PUF（这里特指 Strong PUF，后同）可以用以下几个特定指标衡量：

- 随机性——对任何一个 CRP 集合的子集，响应（简称R，后略）的分布应尽可能满足平均分布；
- 独特性——对任何一个特定的激励（简称C，后略），一组 PUF 的R的分布应尽可能满足平均分布；
- 可靠性——对同样的激励在不同环境温度、电源电压下重复操作应给出相同或大率相同的响应；
- 安全性——应对各种已知攻击，详见下一节。

除此之外，还有电路通用的面积、功耗、速度等指标，但特定指标优先级高于通用指标。

下面给出1-3指标的数学定义：

设C集合 c_i ，R集合 r_i ， $r_i = f(c_i)$ ，若 $R = 0, 1$ ，则随机性可以表征为：

$$Rand = \frac{1}{N} \cdot \sum_{i=1}^N f(c_i) \quad (1.1)$$

N为 CRP 测试集元素总数，随机性期望值为0.5，表明响应应在随机选取的激励下呈平均分布；

独特性表征为：

$$Uniq = \frac{2}{M(M-1)} \sum_{i=1}^M \sum_{j=i+1}^M \frac{HD(P_i, P_j)}{N} \quad (1.2)$$

$$P_i = \langle f_i(c_0), f_i(c_1), \dots, f_i(c_n) \rangle \quad (1.3)$$

其中M为测试PUF设备总数，N为测试激励总数， P_i 为第i个设备N个激励响应组成的向量， $HD(P_i, P_j)$ 指 P_i, P_j 之间的汉明距离。独特性期望值为0.5，表明任意激励的响应在不同设备间应呈平均分布；

可靠性表征为：

$$Reliability = \frac{1}{MN} \sum_j^M \sum_i^N |f(c') - f^{(j)}(c_i)| \quad (1.4)$$

其中 N 为测试激励总数， M 为测试重复次数， c_B 为参考激励，保持不变。可靠性期望值为0。

1.2 PUF安全性问题

1.2.1 物理模型

虽然不能精确模拟流片时的掺杂、退火等行为，但是还是可以从宏观上表征一个PUF的行为，成这种方式为建模。通常可以将门级电路的驱动能力、延时等抽象为一个平均值 W ，将 R 视为 C 和 W 的映射 $R = f(C, W)$ 。同时，一个好的物理模型有助于快速且准确的仿真验证。

1.2.2 参数拟合

由于 Strong PUF 开放IO端口的特点，若根据攻击者已掌握的一组 CRP 子集，根据建模特点，用机器学习算法拟合出抽象参数 W ，便可将 C, W 带入模型中得到 CRP 全集，根据预测率的高低可确定模型建立是否准确抽象了 PUF 的特点。严格来讲，如果一类 PUF 可以被准确抽象出模型，则称该 PUF 是不安全的。但考虑到不是所有模型都能在有限时间内拟合出参数，所以一般认为在特定场合可接受的时间内不能被拟合出参数的 PUF 是安全的。

1.3 机器学习算法简介

1.3.1 支持向量机

支持向量机 (Support Vector Machine, SVM)，是一种经典的模式识别算法，是 Bell 实验室的 Corinna Cortes 和 Vladimir Vapnik 于1995年首先提出的算法，后经改进，广泛应用于非线性函数拟合，模式识别等机器学习应用中。

SVM 的基本思想是将输入数据映射到一个 n 维空间中，找到 n 维空间中的一个超平面能将测试数据集划分开，则该平面将整个空间划分为二，对应着两类不同的数据。

下面我们给出线性SVM的描述。考虑在 n 维空间中存在 m 个特征向量 $x_1, x_2, x_3, \dots, x_m$,

每个向量具有一个标签（label）“0”或者“1”，期望找到一个超平面（Hyperplane）

$$g(x) = w'x + b = 0 \quad (1.5)$$

其中 w 和 b 是超平面的系数向量。 $g(x)$ 可以将特征向量分为两类，使得标签“1”向量都满足 $g(x_i) > 0$ ，而标签“0”向量都满足 $g(x_i) < 0$ 。定义

$$\gamma = \frac{g(x)}{\|w\|} \quad (1.6)$$

为向量 x 到超平面 $g(x) = 0$ 的几何距离，其中 $\|w\| = \sqrt{w_1^2 + w_2^2 + \dots + w_n^2}$ 是系数向量 w 的范数。为了增加分类的可信度，我们需要找到一个超平面，使得所有特征向量到该超平面的几何距离最大。

事实上并不是所有的数据都是线性可分的，即不存在一个超平面可以将数据集按标签分开。因此非线性 SVM 的做法通常是：将数据由 n 维空间映射到 $n+k$ 维，使得在 $n+k$ 为空间中数据线性可分。

1.3.2 SVM与PUF

如果PUF的模型是 $r = f(c) = \text{sgn}(\omega'c + b)$ 的形式，其中 r 是响应， c 是激励， ω 是PUF内在属性， $\text{sgn}()$ 是一个符号函数。可以看出 $g(c) = \omega'c + b = 0$ 便类似于SVM中的超平面，在 c 所在空间中， $g(c)$ 将向量 c 按标签 r 分为了两类。通过SVM找到使 $\gamma = \frac{g(c)}{\|\omega\|}$ 最大的 ω ，以使模型达到最大可信度。SVM的求解过程在Matlab中以SMO算法封装实现，而且求解过程并不是本文的关注点，所以不在这里赘述。

1.4 相关工作

1.4.1 仲裁型PUF

图 1展示了一个简单的仲裁型 PUF，图 3是一个完整的仲裁型 PUF。其中激励 c_i 控制双口交换器使得

$$O_0 = c_i ? I_1 : I_0 \quad (1.7)$$

$$O_1 = c_i ? I_0 : I_1 \quad (1.8)$$

这样不同的激励选定了不同的两条数据通路做延迟对比，使得CRP空间有 2^n 个元素。

图 3 仲裁型PUF

将每一个交换器抽象为4条通路，设每条通路延迟分别为 p_i, q_i, r_i, s_i （如图4所示），信号到达输入的时间分别为 $t_1(i), t_2(i)$ ，输出的时间分别为 $t_1(i+1), t_2(i+1)$ ，则有

$$t_1(i+1) = c_i ? t_2(i) + r_i : t_1(i) + p_i \quad (1.9)$$

$$t_2(i+1) = c_i ? t_1(i) + q_i : t_2(i) + s_i \quad (1.10)$$

图4 双口交换器模型

为了方便数学推导，将逻辑“0”记为-1，将逻辑“1”记为+1，则“异或”等价“乘”运算，故1.9可化为

$$t_1(i+1) = \frac{1+c_i}{2}(t_2(i) + r_i) + \frac{1-c_i}{2}(t_1(i) + p_i) \quad (1.11)$$

$$t_2(i+1) = \frac{1+c_i}{2}(t_1(i) + q_i) + \frac{1-c_i}{2}(t_2(i) + s_i) \quad (1.12)$$

两式做差得：

$$\delta(i+1) = t_1(i+1) - t_2(i+1) = -c_i \delta(i) + \frac{r_i - q_i + p_i - s_i}{2} + \frac{c_1}{2}(r_i - q_i - p_i + s_i) \quad (1.13)$$

求解此递推关系式最终可得：

$$\delta(n) = p'd \quad (1.14)$$

其中向量 $p = \langle p_0, p_1, \dots, p_n \rangle, p_i = \prod_{k=i+1}^n c_k$ ，向量 $d = \langle \alpha_1, \alpha_2 + \beta_1, \dots, \alpha_n + \beta_{n-1}, \beta_n \rangle$ ， $\alpha_i = \frac{r_i - q_i - p_i + s_i}{2}, \beta_i = \frac{r_i - q_i + p_i - s_i}{2}$ ，并定义 p_n 为常数1。由于 $r = f(c) = \text{sgn}[\delta(n)]$ ，所以存在 n 维空间上的超平面 $p'd = 0$ 将特征向量 p 按 r 标签分开。在这里 p 是向量 c 在同维空间中的一个映射，而向量 d 代表了每个交换器的延迟时间，是PUF的本征属性。

通过一组已知的CRP子集，我们可以确定一组向量 d ，用SVM算法找到具有最大可信度的 d 向量，作为延迟时间的估值，这样便推导出了仲裁型PUF的模型，对于未知响应的激励 c ，根据 $\text{sgn}(p'd)$ 可预测其响应。根据文献^[chen2011bistable]的数据，当训练集大小超过2000时，预测准确率在95%以上。

1.4.2 仲裁型PUF的改进

因为仲裁型PUF的观测点——延迟时间的累加是线性过程，所以容易建立适合SVM算法的模型。在文献【】中作者提出了改进方案——前馈仲裁型PUF（如图5），用中间值 $\text{sgn}[\delta(k)]$ 作为交换器的控制信号，如果用同样的思路建立模型，那么在模型表达式中存在非线性函数 sgn ，不能再直接使用SVM算法求解代表延迟的 d 向量。

图 5 前馈仲裁型PUF

1.4.3 双稳态环路PUF

2011年Qingqing Chen等人在会议 Hardware-Oriented Security Transaction 上提出了一种新的PUF，双稳态环路型 PUF (Bistable Ring PUF，如图 6)。BRPUF采用了偶数级反相器级联构成回路具有双稳态的特性构建PUF的观测点，具有新颖性，并且作者声称其环路具有非线性结构，较传统仲裁型PUF安全性更高。截止本文撰写时，仅有Qingqing Chen 本人在文献^[chen2012characterization]中对 BRPUF 做了特性分析；D. Schuster 和 R. Hesselbarth 对 BRPUF 用单层神经网络进行建模。^[test-en]

图 6 双稳态环路型PUF

1.5 本章小结

结论

附录 A 附件

致谢

北京大学学位论文原创性声明和使用授权说明

原创性声明

本人郑重声明：所呈交的学位论文，是本人在导师的指导下，独立进行研究工作所取得的成果。除文中已经注明引用的内容外，本论文不含任何其他个人或集体已经发表或撰写过的作品或成果。对本文的研究做出重要贡献的个人和集体，均已在文中以明确方式标明。本声明的法律结果由本人承担。

论文作者签名： 日期： 年 月 日

学位论文使用授权说明

（必须装订在提交学校图书馆的印刷本）

本人完全了解北京大学关于收集、保存、使用学位论文的规定，即：

- 按照学校要求提交学位论文的印刷本和电子版本；
- 学校有权保留学位论文的印刷本和电子版，并提供目录检索与阅览服务，在校园网上提供服务；
- 学校可以采用影印、缩印、数字化或其它复制手段保存论文；
- 因某种特殊原因需要延迟发布学位论文电子版，授权学校在 ☐ 一年 / ☐ 两年 / ☐ 三年以后在校园网上全文发布。

（保密论文在解密后遵守此规定）

论文作者签名： 导师签名： 日期： 年 月 日